

**Федеральное государственное автономное образовательное учреждение
высшего образования**

«Российский университет дружбы народов имени Патриса Лумумбы»

Инженерная академия

Департамент механики и процессов управления

ОТЧЕТ

По Курсовой работе по Механике Космического Полета

Направление: 01.03.02 Прикладная математика и Информатика

(код направления / название направления)

Профиль: Математические методы механики полета ракет-носителей и
космических аппаратов

(название профиля)

Тема: Локально-геостационарные орбиты. Кеплеровы элементы
орбиты.

(название лабораторной / курсовой)

Выполнено **Критским Матвеем Димитриевичем**
студентом:

(ФИО)

Группа: ИПМбд-02-22

№ студенческого: 1132226149

Москва, 2023

Оглавление.

1. Определения и обозначения.

1.1 Основные определения.

1.2 Кеплеровы элементы.

1.3 Виды орбит. Трассы орбит. Периоды обращения орбит.

2. Формулы и графики скоростей.

2.1 Зависимость скорости спутника на круговой орбите от расстояния спутника до Земли.

2.2 Зависимость скорости конца геоцентрического радиус-вектора от высоты спутника при постоянном наклонении.

2.3 Зависимость скорости спутника в апогее орбиты при зафиксированной высоте перигея от высоты апогея.

3. Вывод.

4. Приложение.

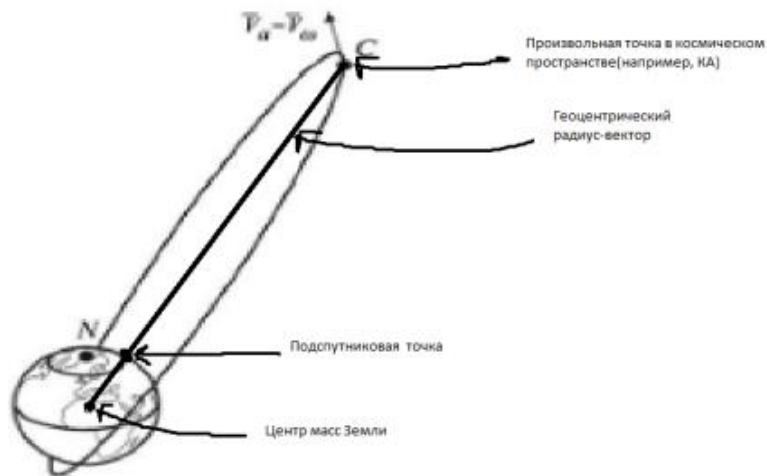
5. Используемая литература.

1. Определения и обозначения.

1.1 Основные определения.

Геоцентрический радиус-вектор(R) - вектор, начало которого совпадает с центром масс Земли, а конец - с определенной точкой в космическом пространстве(например, с положением космического аппарата(КА)).

Подспутниковая точка - точка пересечения геоцентрического радиус-вектора с поверхностью Земли. (см рис. 1)



(рис. 1)

Гравитационный параметр(μ) - это произведение гравитационной постоянной G и массы тела M . $\mu = G \cdot M$. μ меняется от планеты к планете из-за разной массы M . G - постоянна.

Восходящий узел - точка, в которой орбита проходит через базовую плоскость

H - расстояние между КА и подспутниковой точкой. (км)

V_c - скорость КА на круговой орбите. (км/с)

V_ω - проекция скорости подспутниковой точки. (км/с)

V_i - скорость конца геоцентрического радиус-вектора, вращающегося вместе с Землей. (км/с)

V_A - скорость спутника в апогее. (км/с)

1.2 Кеплеровы элементы.

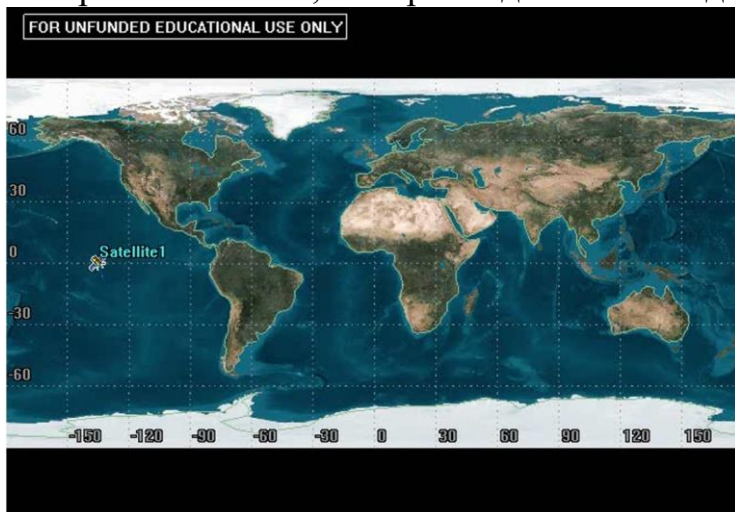
Кеплеровы элементы - это 6 элементов орбиты, определяющие положение КА в пространстве.

Название элемента	Описание элемента	Что меняет
Большая полуось(a)	Половина диаметра орбиты, проходящего через ее центр и 2 фокуса.	Размер орбиты.
Эксцентриситет(e)	Числовая характеристика конического сечения орбиты, показывающий степень ее отклонения от окружности	Форму орбиты.
Наклонение(i)	Угол между плоскостью орбиты и базовой плоскостью.	Положение орбиты в плоскости.
Долгота восходящего узла(Ω)	Угол между направлением весеннего равноденствия и направлением, где орбита пересекает плоскость эклиптики.	Положение орбиты в плоскости.
Аргумент перигентра(ω)	Угол между восходящим узлом орбиты и перигентром.	Положение орбиты в плоскости.
Средняя аномалия(M)	Угловое расстояние от перигентра тела, движущегося с постоянной угловой скоростью.	Положение орбиты в пространстве.

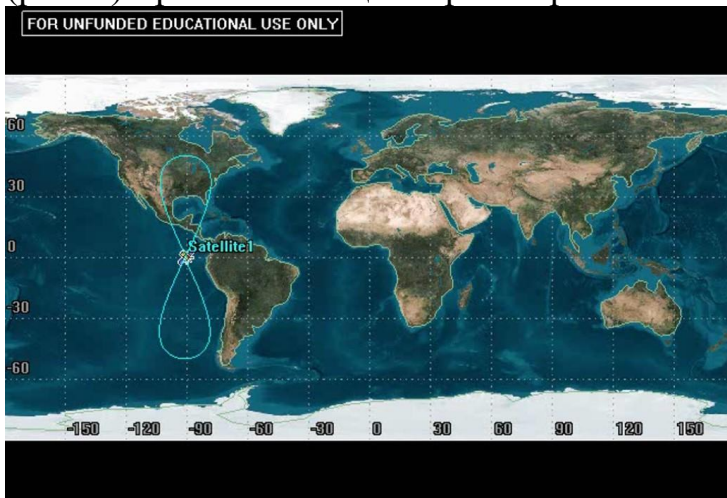
1.3 Виды орбит. Трассы орбит. Периоды обращения орбит.

Геосинхронная орбита (Geosynchronous Orbit) - орбита обращающегося вокруг Земли спутника, период которой равен периоду вращения Земли. Частным случаем геосинхронной орбиты является **геостационарная орбита (Geostationary orbit – GEO)** - круговая орбита, лежащая в плоскости земного экватора. Если наклонение геосинхронной орбиты отлично от 0 и эксцентриситет равен 0, то при наблюдении спутник описывает в небе “восьмерку”. Если же наклонение и эксцентриситет отличны от 0, то в зависимости от этих величин “восьмерка” вырождается в эллипс или в отрезок прямой, лежащей в плоскости экватора (при нулевом наклонении и ненулевом эксцентриситете).

Трасса орбиты (Ground Track) - проекция орбиты спутника Земли на поверхность Земли, т.е. трасса движения подспутниковой точки.

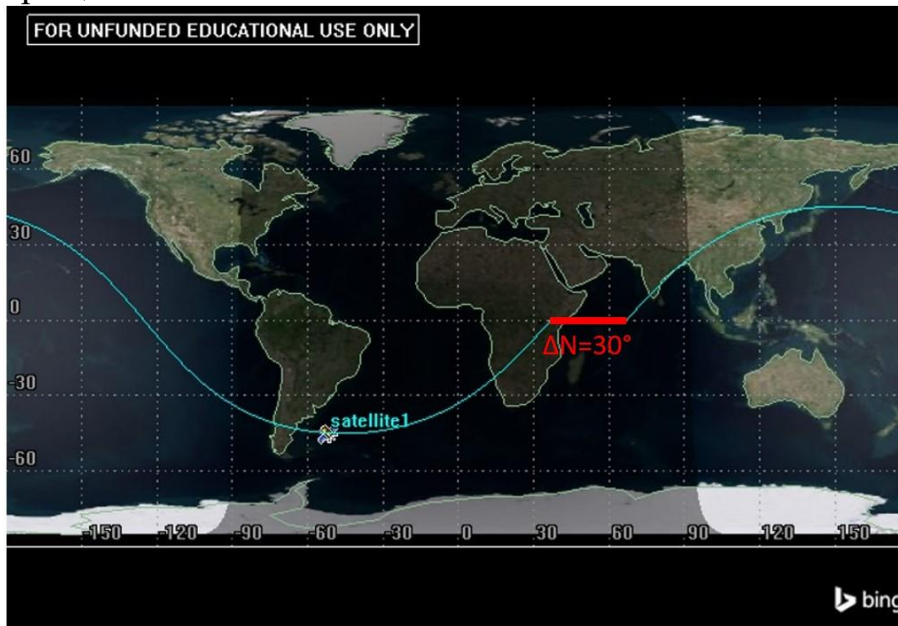


(рис. 2) Трасса геостационарной орбиты



(рис. 3) Трасса геосинхронной орбиты

Закрытая трасса орбиты(Closed Ground Track) - частный случай трассы, когда после полного оборота спутника следующая трасса накладывается на предыдущую. Например, геостационарная и геосинхронная орбиты имеют закрытую трассу (рис. 2 и рис. 3). Из-за поворота Земли трассы орбит “разрываются”(как видно на рис.4). Из-за этого “разрыва” после полного оборота спутника трасса следующего оборота не совпадает с предыдущей трассой. В случае рис. 2 и рис. 3 “разрыва” нет, т.к. период обращения орбит равен периоду вращения Земли.



(рис. 4) Пример открытой трассы.

Сидерический период обращения или Период обращения по орбите(Sidereal Perion or Orbital Period T) - время полета между двумя точками A_0 и A_1 на двух соседних витках. Сидерический период зависит от широты точки наблюдения A_0 . Из 3-его закона Кеплера следует, что

$$T = \sqrt{\frac{a^3 \cdot T_3^2}{a_3^3}},$$
 где a - большая полуось орбиты спутника при сидерическом периоде обращения; a_3 - большая полуось Земли, T_3 - период обращения Земли.

Драконический период обращения(Nodal Period T_{nod}) - время между двумя последовательными прохождением спутника через плоскость экватора при движении с юга на север, т.е. время между двумя прохождением спутника через два соседних восходящих узла орбиты Ω_1 и Ω_2 . Драконический период имеет более практическое значение, чем сидерический, поскольку каждое прохождение спутником плоскости экватора может быть точно зафиксировано.

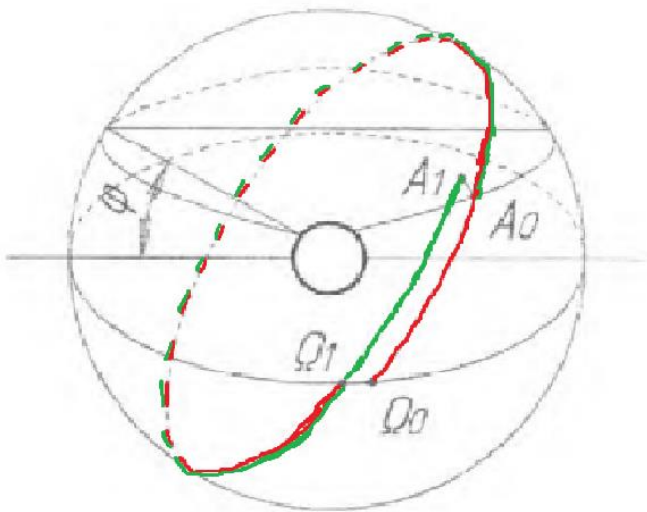
$$T_{\text{nod}} = 2\pi \frac{a^{\frac{3}{2}}}{\sqrt{\mu}} \left(1 - \frac{\frac{3}{2}J_2 R_E^2}{a^2(1-e^2)^2} \left(\frac{10 \cos^2(i) - 2}{4} - \frac{3 \cos^2(i) - 1}{4} (1 - e^2)^{\frac{1}{2}} \right) \right), \text{ где } J_2 -$$

полярная сплюснутость, $J_2 = 0.0010827$.

Если в формулу сидерического периода подставить формулу гравитационного параметра для эллиптических орбит, получим:

$$\mu = 4\pi^2 \frac{a^3}{T^2}. \text{ Для Земли: } \mu = 4\pi^2 \frac{a_3^3}{T_3^2} \Rightarrow \frac{T_3^2}{a_3^3} = \frac{4\pi^2}{\mu}$$

$$T = \sqrt{a^3 \frac{4\pi^2}{\mu}} = 2\pi \cdot \frac{a^{\frac{3}{2}}}{\sqrt{\mu}}, \text{ т.е. } T_{\text{nod}} - \text{ синодический период с учетом сплюснутости Земли.}$$



(рис. 5) Возмущенная орбита. Красным цветом показана траектория спутника для драконического периода, а зеленым - для сидерического.

Эффективный период обращения Земли (Efficient Period of Earth Rotation T_{eff}) - период невозмущенного вращения Земли, корректируемого с учетом прецессии орбиты спутника.

$$T_{\text{eff}} = \frac{2\pi + \left(\frac{m}{n}\right) \cdot \delta\Omega}{\omega_E}, \text{ где } m - \text{ кол-во оборотов, } n - \text{ кол-во эффективных}$$

астрономических дней, $\delta\Omega$ - угловое смещение восходящего узла орбиты спутника за один оборот. Отсюда $\frac{m}{n}$ - коэф. повторяемости геосинхронной

орбиты. Если сравнивать это со школьной формулой периода движения тела по окружности $T = \frac{2\pi}{\omega}$, можно заметить, что в эффективном периоде обращения к 2π

прибавляется $\frac{m}{n}\delta\Omega$. Это необходимо из-за прецессии орбиты спутника, возникающей по причине несферичности Земли.

2. Формулы и графики скоростей.

2.1. Зависимость скорости спутника на круговой орбите от расстояния спутника до Земли.

Для подсчета скорости спутника на круговой орбите V_c воспользуемся следующей формулой:

$$V_a = \sqrt{\frac{2\mu \cdot r_p}{r_A \cdot (r_A + r_p)}} \quad (1), \text{ где } \mu - \text{гравитационный параметр Земли, } \mu = 398600.4 \text{ км}^3/\text{с}^2,$$

r_A - радиус апогея, r_p - радиус перигея. Учитывая, что $e = 0$ (круговая орбита) и что

$$r_A = \frac{p}{1 - e \cdot \cos(\theta)} = p \quad (p - \text{фокальное расстояние})$$

$$\Rightarrow r_A = r_p$$

$$r_p = \frac{p}{1 + e \cdot \cos(\theta)} = p$$

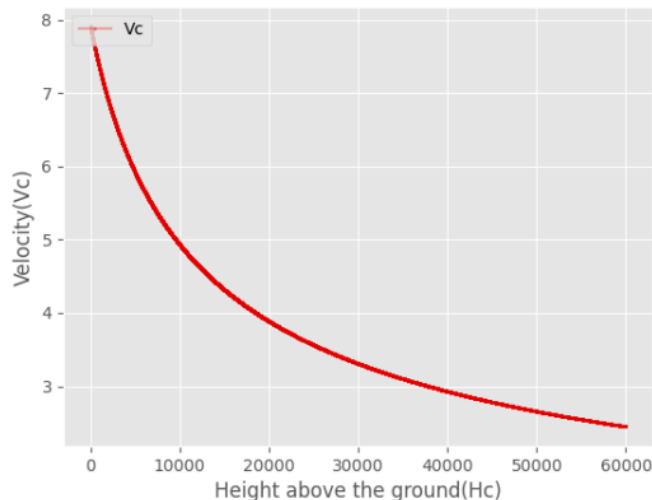
Подставив полученные радиусы в формулу (1), получим:

$$V_a = \sqrt{\frac{2\mu \cdot r_p}{r_p \cdot (r_p + r_p)}} = \sqrt{\frac{\mu}{r_p}} = V_c. \text{ Если представить, что } r_p = R_z + H, \text{ где } R_z - \text{радиус}$$

Земли, $R_z = 6378$ км, H_c - расстояние от поверхности Земли до спутника, мы

получим: $V_c = \sqrt{\frac{\mu}{R_z + H_c}}$. Если H_c будет принимать значения в отрезке $[0; 60000]$ км

с шагом 1, то мы получаем следующий график:



(рис. 6) график зависимости $V_c(H_c)$

2.2 Зависимость скорости конца геоцентрического радиус-вектора от высоты спутника при постоянном наклонении.

Для подсчета скорости конца геоцентрического радиус-вектора, воспользуемся следующей формулой:

$$V_{\omega} = \omega_E \cdot r_A \cdot \cos(\varphi) \quad (2)$$

Если учесть, что $\cos(i) = \cos(\varphi) \cdot \sin(\alpha)$ и что в нашем случае $\alpha = 90^\circ$ (рис. 7)

получим: $V_{\omega} = \varpi_E \cdot r_A \cdot \cos(i)$, где ϖ_E - угловая скорость вращения Земли, $\varpi_E = 7.2921159 \cdot 10^{-5} \text{ c}^{-1}$, i - наклонение орбиты, в нашем случае является постоянной величиной i , которая принимает значения $[0; 63.4]^\circ$. В моем случае $i = 63.4^\circ$ (орбита Молния), $r_A = (R_z + H)$. Н аналогично H_c - расстояние от поверхности Земли до спутника.

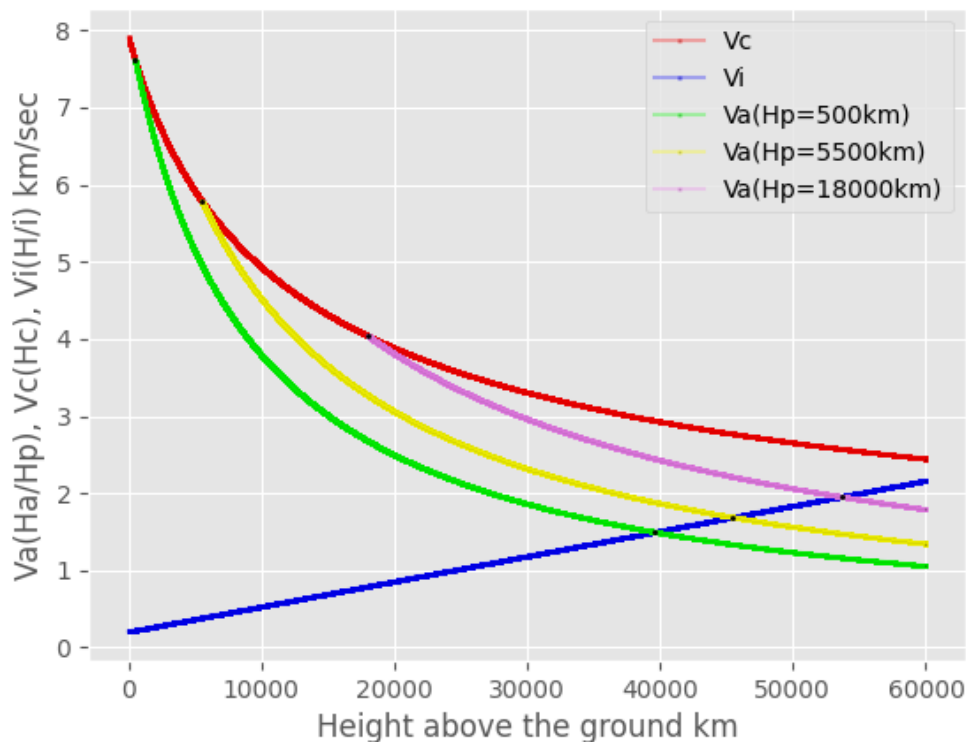
2.3 Зависимость скорости спутника в апогее орбиты при зафиксированной высоте перигея от высоты апогея.

Для подсчета скорости спутника в апогее орбиты при зафиксированной высоте перигея воспользуемся уже упомянутой в (2.1) формуле (1):

$$V_a = \sqrt{\frac{2\mu \cdot r_p}{r_A \cdot (r_A + r_p)}}.$$

Если $r_p = (R + H_p)$, H_p – высота перигея, $H_p = 500, 5500, 18000$ км,

$r_A = (R + H_A)$, H_A - высота апогея, то подставив соответствующие значения H_p и значения H_A в пределе $[0; 60000]$ км, получим следующий график:



(рис. 9) График зависимостей $V_c(H_c)$, $V_i(H/i)$, $V_A(H_A, H_p)$.

Лаймовый график - V_{a1} , Желтый - V_{a2} , Фиолетовый - V_{a3} .

На данном графике также отображены точки пересечения V_A с V_c и V_i с точностью до 10^{-6} черными точками.

3. Вывод.

Из (рис. 6), (рис. 8), (рис. 9) можно заметить, что с отдалением спутника от поверхности Земли скорость в апогее уменьшается, а скорость точки конца геоцентрического радиус-вектора наоборот увеличивается.

Скорость спутника в апогее круговой орбиты V_c принимает значения [2.450512; 7.904830]. При чем при $H = 1$ V_c - максимален, а при $H = 60000$ - минимален. Аналогично и с V_{a1-3} :

V_{a1} принимает значения [1.061894; 8.052227]

V_{a2} принимает значения [1.350158; 9.017051]

V_{a3} принимает значения [1.796111; 9.952556]

Стоит заметить, что максимумы и минимумы V_{a1-3} возрастают по мере увеличения индекса (т.е. $\max(V_{a1}) < \max(V_{a2})$ и т.д.).

Графики V_c и V_{a1-3} - это графики квадратного корня. Графики нисходящие.

Скорость конца геоцентрического радиус-вектора V_i принимает значения [0.208281; 2.167315]. Графики V_i - прямые и восходящие.

4. Приложения.

Ссылка на GitHub: <https://github.com/rudnmk/Coursework>

Код программы для подсчета и сохранения информации (находится по пути Coursework/code/code.c):

```

#include <stdio.h>

#include<math.h>

#define M_PI 3.14159265358979323846

#define Nu 398600.4

#define i 63.4

#define R 6378.0


int main() {
    float Vc;
    float Vi;
    float Va1;
    float Va2;
    float Va3;

    float We = 7.2921159;
    const float Hp1 = 500.0;
    const float Hp2 = 5500.0;
    const float Hp3 = 18000.0;
    int flag1 = 0;
    int flag2 = 0;
    int flag3 = 0;

    FILE *Vc_file = fopen("Vc_DATA.txt", "w");
    FILE *Vi_file = fopen("Vi_DATA.txt", "w");
    FILE *Va1_file = fopen("Va1_DATA.txt", "w");
    FILE *Va2_file = fopen("Va2_DATA.txt", "w");
    FILE *Va3_file = fopen("Va3_DATA.txt", "w");
    FILE *intersec = fopen("IntersectionPoints.txt", "w");


    for (int H = 1; H < 60001; H++) {

```

```

Vc = sqrt(Nu / (R + H));
Vi = We * pow(10, -5) * (R + H) * cos(i / 180.0 * M_PI);
Va1 = sqrt((2 * Nu * (R + Hp1)) / ((R + H) * (R + H + R + Hp1)));
Va2 = sqrt((2 * Nu * (R + Hp2)) / ((R + H) * (R + H + R + Hp2)));
Va3 = sqrt((2 * Nu * (R + Hp3)) / ((R + H) * (R + H + R + Hp3)));

if (Va1 < Vc && flag1 == 0) {
    for (float tmp = H - 2; tmp < H; tmp = tmp + 0.001) {
        Va1 = sqrt((2 * Nu * (R + Hp1)) / ((R + tmp) * (R + tmp + R +
Hp1))));

        Vc = sqrt(Nu / (R + tmp));
        if (Va1 <= Vc) {
            fprintf(intersec, "%f %f\n", tmp, Vc);
            break;
        }
    }
    flag1 = 1;
}
if (Va2 < Vc && flag2 == 0) {
    for (float tmp = H - 2; tmp < H; tmp = tmp + 0.001) {
        Va2 = sqrt((2 * Nu * (R + Hp2)) / ((R + tmp) * (R + tmp + R +
Hp2))));

        Vc = sqrt(Nu / (R + tmp));
        if (Va2 <= Vc) {
            fprintf(intersec, "%f %f\n", tmp, Vc);
            break;
        }
    }
    flag2 = 1;
}

```

```

if (Va3 < Vc && flag3 == 0) {
    for (float tmp = H - 2; tmp < H; tmp = tmp + 0.001) {
        Va3 = sqrt((2 * Nu * (R + Hp3)) / ((R + tmp) * (R + tmp + R +
Hp3))));

        Vc = sqrt(Nu / (R + tmp));
        if (Va3 <= Vc) {
            fprintf(intersec, "%f  %f\n", tmp, Vc);
            break;
        }
    }
    flag3 = 1;
}

if (Va1 < Vi && flag1 == 1) {
    for (float tmp = H - 2; tmp < H; tmp = tmp + 0.01) {
        Va1 = sqrt((2 * Nu * (R + Hp1)) / ((R + tmp) * (R + tmp + R +
Hp1))));

        Vi = We * pow(10, -5) * (R + tmp) * cos(i / 180.0 * M_PI);
        if (Va1 <= Vi) {
            fprintf(intersec, "%f  %f\n", tmp, Vi);
            break;
        }
    }
    flag1 = 2;
}

if (Va2 < Vi && flag2 == 1) {
    for (float tmp = H - 2; tmp < H; tmp = tmp + 0.01) {
        Va2 = sqrt((2 * Nu * (R + Hp2)) / ((R + tmp) * (R + tmp + R +
Hp2))));

        Vi = We * pow(10, -5) * (R + tmp) * cos(i / 180.0 * M_PI);

```

```

        if (Va2 <= Vi) {
            fprintf(intersec, "%f %f\n", tmp, Vi);
            break;
        }
    }
    flag2 = 2;
}

if (Va3 < Vi && flag3 == 1) {
    for (float tmp = H - 2; tmp < H; tmp = tmp + 0.01) {
        Va3 = sqrt((2 * Nu * (R + Hp3)) / ((R + tmp) * (R + tmp + R +
Hp3))));

        Vi = We * pow(10, -5) * (R + tmp) * cos(i / 180.0 * M_PI);
        if (Va3 <= Vi) {
            fprintf(intersec, "%f %f\n", tmp, Vi);
            break;
        }
    }
    flag3 = 2;
}

fprintf(Vc_file, "%i %f \n", H, Vc);
fprintf(Vi_file, "%i %f \n", H, Vi);

if (Va1 < Vc) {
    fprintf(Va1_file, "%i %f\n", H, Va1);
}

if (Va2 < Vc) {
    fprintf(Va2_file, "%i %f\n", H, Va2);
}

```



```

        if (Va3 < Vc) {
            fprintf(Va3_file, "%i    %f\n", H, Va3);
        }
    }

    fclose(Vc_file);
    fclose(Vi_file);
    fclose(Va1_file);
    fclose(Va2_file);
    fclose(Va3_file);
    fclose(intersec);
    return 0;
}

```

Код программы для построения и вывода графиков (находится по пути Coursework/code/graph.py):

```
import pandas as ps
```

```
import matplotlib.pyplot as plt
```

```
import numpy as np
```

```
with open("Vc_DATA.txt", "r") as f:
```

```
    vc = f.readlines()
```

```
    f.close()
```

```
with open("Vi_DATA.txt", "r") as f:
```

```
vi = f.readlines()
```

```
f.close()
```

```
with open("Va1_DATA.txt", "r") as f:
```

```
    va1 = f.readlines()
```

```
    f.close()
```

```
with open("Va2_DATA.txt", "r") as f:
```

```
    va2 = f.readlines()
```

```
    f.close()
```

```
with open("Va3_DATA.txt", "r") as f:
```

```
    va3 = f.readlines()
```

```
    f.close()
```

```
with open("IntersectionPoints.txt", "r") as f:
```

```
    points = f.readlines()
```

```
    x1, y1 = (points[0].rstrip('\n')).split('  ')
```

```
    x2, y2 = (points[1].rstrip('\n')).split('  ') #Точки пересечений Va с Vc
```

```
    x3, y3 = (points[2].rstrip('\n')).split('  ')
```

```
x4, y4 = (points[3].rstrip('\n')).split(' ')
x5, y5 = (points[4].rstrip('\n')).split(' ') #Точки пересечений Va с Vi
x6, y6 = (points[5].rstrip('\n')).split(' ')
f.close()
```

```
vc_x = []
vi_x = []
va1_x = []
va2_x = []
va3_x = []
data_list_vc = []
data_list_vi = []
data_list_va1 = []
data_list_va2 = []
data_list_va3 = []
for i in vc:
    tmp = (i.rstrip('\n')).split(' ')
    vc_x.append(int(tmp[0]))
```

```
data_list_vc.append(float(tmp[1]))
```

```
for i in vi:
```

```
    tmp = (i.rstrip('\n')).split(' ')
```

```
    vi_x.append(int(tmp[0]))
```

```
    data_list_vi.append(float(tmp[1]))
```

```
for i in va1:
```

```
    tmp = (i.rstrip('\n')).split(' ')
```

```
    va1_x.append(int(tmp[0]))
```

```
    data_list_va1.append(float(tmp[1]))
```

```
for i in va2:
```

```
    tmp = (i.rstrip('\n')).split(' ')
```

```
    va2_x.append(int(tmp[0]))
```

```
    data_list_va2.append(float(tmp[1]))
```

```
for i in va3:
```

```
    tmp = (i.rstrip('\n')).split(' ')
```

```
    va3_x.append(int(tmp[0]))
```

```
data_list_va3.append(float(tmp[1]))
```

```
plt.style.use("ggplot")
```

```
figure, ax1 = plt.subplots()
```

```
result_array_vc = np.asarray(data_list_vc).T
```

```
result_array_vi = np.asarray(data_list_vi).T
```

```
result_array_va1 = np.asarray(data_list_va1).T
```

```
result_array_va2 = np.asarray(data_list_va2).T
```

```
result_array_va3 = np.asarray(data_list_va3).T
```

```
ax1.plot(vc_x, result_array_vc, color="red", alpha=0.3, label="Vc", marker="s",  
markerfacecolor="black", markersize=1)
```

```
ax1.plot(vi_x, result_array_vi, color="blue", alpha=0.3, label="Vi", marker="s",  
markerfacecolor="black", markersize=1)
```

```
ax1.plot(va1_x, result_array_va1, color="lime", alpha=0.3, label="Va(Hp=500km)",  
marker="s", markerfacecolor="black", markersize=1)
```

```
ax1.plot(va2_x, result_array_va2, color="yellow", alpha=0.3,  
label="Va(Hp=5500km)", marker="s", markerfacecolor="black", markersize=1)
```

```
ax1.plot(va3_x, result_array_va3, color="violet", alpha=0.3,  
label="Va(Hp=18000km)", marker="s", markerfacecolor="black", markersize=1)
```

```
ax1.plot(float(x1),    float(y1),    color="black",    alpha=1,    marker="s",  
markerfacecolor="black", markersize=1)
```

```
ax1.plot(float(x2),    float(y2),    color="black",    alpha=1,    marker="s",  
markerfacecolor="black", markersize=1)
```

```
ax1.plot(float(x3),    float(y3),    color="black",    alpha=1,    marker="s",  
markerfacecolor="black", markersize=1)
```

```
ax1.plot(float(x4),    float(y4),    color="black",    alpha=1,    marker="s",  
markerfacecolor="black", markersize=1)
```

```
ax1.plot(float(x5),    float(y5),    color="black",    alpha=1,    marker="s",  
markerfacecolor="black", markersize=1)
```

```
ax1.plot(float(x6),    float(y6),    color="black",    alpha=1,    marker="s",  
markerfacecolor="black", markersize=1)
```

```
ax1.legend(loc="upper right")
```

```
ax1.set_xlabel("Height above the ground km")
```

```
ax1.set_ylabel("Va(Ha/Hp), Vc(Hc), Vi(H/i) km/sec")
```

```
plt.show()
```

5. Используемая литература.

1. Locally Geostationary Orbits: Optimal Geometry of Elliptic Orbit for Earth Coverage by Yury N. Razoumny.

https://www.researchgate.net/publication/329948694_Locally_Geostationary_Orbits_Optimal_Geometry_of_Elliptic_Orbit_for_Earth_Coverage

2. Основы теории полета Белоконов В.М.

<http://repo.ssau.ru/bitstream/Uchebnye-izdaniya/Osnovy-teorii-poleta-kosmicheskikh-apparatov-konspekt-lekcii-Tekst-elektronnyi-83923/1/Белоконов%20В.М.%20Основы%20теории%20полета%202006.pdf>